

A First ~~Transient~~ Targeted Search for
Gravitational-Wave Bursts from Core-Collapse
Supernovae in Data of First-Generation
Laser Interferometer Detectors

arXiv: 1605.01785

Abstract:

2007 - 2011

270 CCSNe γ-ray burst search.

LIGO, ~~Virgo~~, GEO
(44 Hz)

< 15 Mpc

91% time window

~ γ (2-22 keV) in detector

$t_c, t_{\gamma} \in [1, 13] \text{ s}$ to t_{GW}

Introduction:

Core collapse Supernova

重力崩壊 → core bounce → shock stall → shock revival
→ reach surface → EM. (Type II, or Type Ib/Ic)

~~shock~~ reach surface $t \in [1, 2]$ 重要!! (後述)

= the progenitor of LISA GW search

time window $t \in [1, 13]$ s

近年の SN は ZL-3a に多い。

$10^{-12} - 10^{-8} M_{\odot} c^2$ の量で波が発見

昔の星續りは optimistic.

2nd generation laser interferometers では

$$D \leq 1 \sim 100 \text{ kpc} \quad L_{300} \text{ トマス=ダル=マクス}$$

特殊な条件(経歴)を持つ $D \geq 10-15 \text{ Mpc}$. では
異常な特徴を持つ。first generation では
special and rare progenitor characteristics.

all-sky search が行われている。加速度は 10^{-11} m/s^2 .

Target search の特徴

well-defined temporal on-source window

arrival time

constrain sky location of the source.

preliminary selection of four targets

S/N 2007gr, 2008ax, 2008bk, 2011dh

Table 1: 特徴、Fig 1: window 10 TdA.

detectors の稼働状況

2008ax & 2008bk は LIGO S5 + 3' S6 が 100%稼働する。

2011dh は GEO 600 が 30%稼働する。

(3)

II Targeted core-collapse supernovae.

characteristic Magellanic Cloud CC-SN time, $t_0 \approx 3$.
neutrino flux ≈ 3 正確に GW window $\approx R \approx 3 \text{ Mpc}$
 $\sim O(10^5) \text{ or } O(\frac{1}{100}) \text{ (min)}$

$$10000 \left(\frac{10 \text{ kpc}}{D} \right)^2 \text{ [event / 20s]}$$

constraint: within 100 kpc, $P \approx 10^{-12} \times 4^{1.7} \text{ event day}^{-1} \text{ yr}^{-1}$
($\approx 10^3$ days taking $3 \text{ days} \times 3 \text{ days} \times 3 \text{ days}$)
anywhere (in完璧な3次元 search (7^{11} Mpc))

$$D \sim O(Mpc)^{1.7}$$

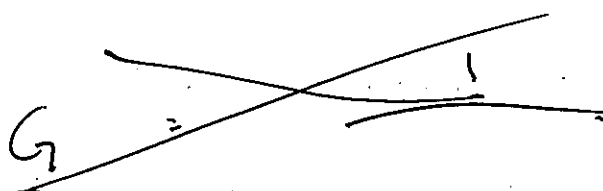
based on estimates of:

- ① - the explosion time
- ② - explosion energy.
- ③ - radius of the progenitor.

① time at supernova shock breaks
out of the stellar surface, and
EM emission begins.

- supernova a light curve and spectrum
of 3 種類分か子
- pre-explosion images in 10-15 分か子.

(4)



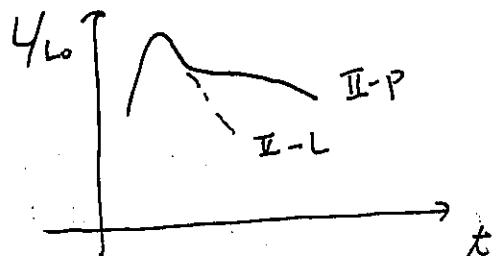
○ A red supergiant progenitor

$$R \sim 500 - 1500 R_{\odot}$$

Type IIP supernova.

外層の水素が豊富

途中で水素のイオン化の進行により、光の不透明度が増し、光が反射にくくなる時期がある。水素の再結合の温度まで下がるまでにかかる。



つまり、たぶん水素層が破裂してから shock breakout までの時間かかる。

1~2日 ~~で~~ core bounce \rightarrow shock breakout.

○ A yellow supergiant

ある程度に水素層が無くなってしまった。

$$R \sim 200 - 300 R_{\odot}$$

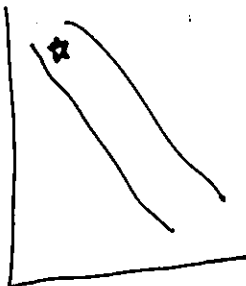
Type Ib supernova.

水素は持てないが、質量が軽いため生き残る。その後は、Ib型に近いスペクトルにある。つまり、ほとんどの時間は水素層があるもの。たぶん、伴星に吸引されてしまった。

0.5 日後(31)

A blue supergiant.

特徴 特殊.



$R \sim 100 R_\odot$

Type IIP 型超大星

半径が大きめで、 $\sim 100 R_\odot$ 位まで表面に
到着する。2-3h。

HR 図

SN 1987A がまさにこれ。

neutrino も 2-3 時間前に爆発時 $t=0$ 。

- 時間が長い。 $t=3$ SN 1987A も、もう少し調へてみた。
(99% 無い)

WR - V 倍星

Wolf-Rayet star progenitor:

- 脱穎張の過程で、恒星風によって水素層が吹き飛ばされてしまう。

つまり、高温部が現れた青色巨星

- 伴星にまで、失われてしまふところも大きい。

Type Ib, Ic

水素スペクトルもしくは、HII領域も見えてくる。

$R \sim 10 R_\odot$ 位しかないので。

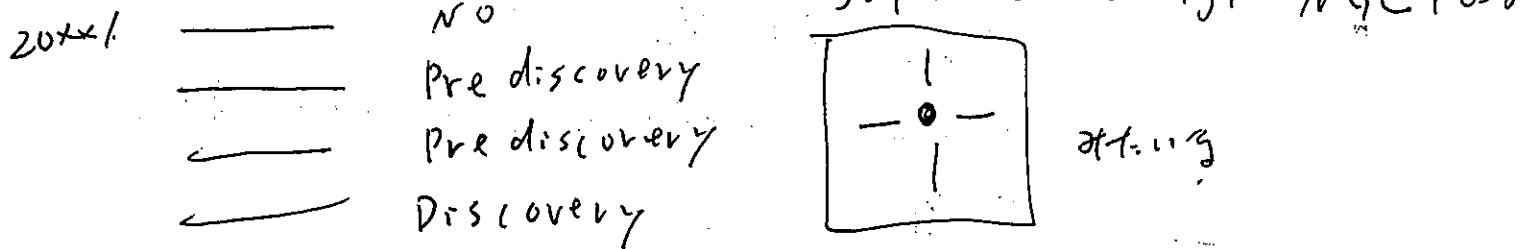
$10-100s$ の差がある。

Type II 外層 C, O II

地下核研究、第2回起新星二回研究会。

特殊で変化のもあるが、2007-2011年の
大体の SNe Ia explosion の 13 数日下光学観測は A7.13。 (6)

HP 7m を見て A7.13



こういう情報を用いて推定する。

- (i) 観測までの早い附近の時間
- (ii) explosion time が最もつかう supernova.
→ light curve + spectrum の比較。
- (iii) light curve の外挿 [84] ← 時間から A7.13
月 A7.13

Estimating the Explosion Time of CCSNe
from Their Optical Light Curves

- (iv) Type I_P と I_S light curves
expanding photosphere method.

100% の SN は amateur astronomer と
professional

candidate 選択

- (i) 10-15 Mpc 以内
- (ii) explosion time の 2週間以内の不稳定性
- (iii) science run の detector の window 中 1-2 つ
以上

Candidate No. 40. Table 1

(7)

2007gr

Type Ic, 10.55 ± 1.95 [Mpc],

2007/8/10.39 - 15.51 5.12 [day]

H₁, H₂, L₁, V₁ 93% の時間で 2 detections 以上.

15.51 ± discovered time.

{ compact stripped-envelope star.

10.55 H₁ last non-discovery

100 sec 単位 GW & explosion の差

R.A. 02^h 43^m 27^s.98

Dec. = +37° 20' 44".7

SN 2008ax & SN 2008bk の宿命:

SN 2011dh

Type IIb, 8.4 ± 0.7 [Mpc]

2011/5/30.37 - 31.89 1.52 [day]

G1, V1 37%

early discovery (prediscovery 31.840)last non-discovery 31.365progenitor: high probability 1⁻_{yellow}
yellow supergiant star.(儀器 ~~superimaging~~ search sensitivity) $\sim 100 R_{\odot}$
afew

congruence = 1 日 前 (pre discovery)

location RA $13^h 30^m 05^s$.12.

Decl $+47^\circ 20' 21''$.30

III detector networks and coverage

2007gr. ISS phase

H₁, H₂, L1, G1 (75%, 76%, 65%, 77%) 81%

2011dh 1st. VSR4/S6E VI, G1

~78% - 62%

Fig 1 为第 2 章的图 7.7.

IV search methodology

X-Pipe line & coherent waveburst

non-coherent testing (loudness)

detector consistency test (coherent test)

同时考虑 FAR 为 1%.

Fig 31. significance level 誤報率

for SN 2007gr HIH2L1VL network

$$10^{-3} \sim 35$$

off time a time shift background 0.3. FAR

($\approx 3 \times 10^{-3}$ to $\approx 4 \times 10^{-3}$ events/s/sr) 为 1%.

on time search 1. event detection FAR 0.1 events/s/sr.

$$FAP = 1 - \exp(-RT_{on}) \sim \text{in event FAP} \approx 10^{-3}$$

0 (10^{-3}) for this candidate or?

C. Simulated Signals and Search Sensitivity ⑨

1. Find loudest event in the window consistent with location (SNR) specific.
2. "inject" theoretical waveform to distance every 100 ± 10 s to time shifted background. calculate detection efficiency (coincidence test & passes data quality cuts pass "event filter" then)
3. determine detection efficiency as a function of distance.

three classes of Gravitational wave signals

1) 2D or 3D (CSN simulation)

2) semi-analytic phenomenological waveform

"in Inject" - on

3) ad-hoc (SG) waveform

$$h_{\text{RSS}} = \sqrt{\int \langle h_x^2(t) + h_y^2(t) \rangle_a dt}$$

angle-averaged root-sum-square

Pimmel noise

S : zero-age-sequence masses

A : angular waveform

1. 50,000 km uniform

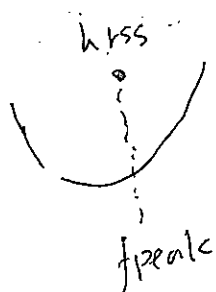
2. 1000 m f251.23

3. 50 km f251.23

○ 日本量 $\text{f} \pm \text{位相} \pm 32\text{ rotation}$

$$f_{\text{peak}} = \frac{\int_0^{\infty} \frac{\bar{z}_A h_A(f) \bar{h}_A^*(f)}{S_n(f)} df}{\int_0^{\infty} \frac{\bar{z}_A h_A(f) \bar{h}_A^*}{S_n(f)} df}$$

detector sensitivity $\propto h(f) \propto \text{f}^{1/2}$
frequency peak



↑ optimal SNR $\propto f^{1/2}$ at $f = f_{\text{peak}}$

1. 2D general-relativistic study
of Pannier/Müller et al.

15 MO, LS EOS

Lattimer-Swesty

rotating ~~MO~~ CC S/N

non-rotating MO SASI + 3D simulation

Takami 2D

Müller et al 3D

strong excitations of $l=1$ g-mode

acoustic mode $\propto \text{f}^{-1/2}$ $\propto \text{f}^0$

simulation $\text{f}_{\text{12}} = \text{f}_{\text{13}}$ = of gg-mode if $\text{f}_{\text{12}} > \text{f}_{\text{13}}$
at a turn point $\text{f}^2 \propto -$

2. Phenomenological Waveform Models

(11)

Lang-Lasting Bar Mode.

 rapidly rotation \rightarrow PN Sa 变型.

$M: 0.2 \text{ or } 1.0 M_{\odot}$

$f: 400, 800 \text{ Hz}$

$\dot{x} = 25, 100, 1000 [\text{m s}^{-1}]$

是飞速自转的双脉冲星

长于子重力波发射



Massive fragment in a thick accretion torus around BH.

M_{BH} , central BH mass $5 \cdot 10^6$

$$\frac{H}{r} = \frac{H}{r} \quad H \text{ disk scale height} \quad 0.3 \\ \text{torus thickness} \quad r \text{ local radius.} \quad 0.6$$

~~ad~~ $= \frac{H}{r} \text{ disk scale height} \quad (\text{across})$
 $\text{in} \ll \text{scale height} \quad \text{dust density ...?}$

Ad-Hoc Waveforms

(12)

$$h_{t,x} = (3), (4),$$

$\lambda = \cos i$ ellipticity.

$$235, 1304 \quad i = 0 \quad Q = 8, 9. \\ \text{or } -1 < i < 1$$

High frequency search T's. ~~1304 Hz~~

Hardware injection to efficiency fitting
= Hardware efficiency $\leq 3\%$.

forall search T's 235, 1304 Hz. 1304 Hz E

D. systematic uncertainty

- calibration uncertainties in the strain data.
- Poisson uncertainties injection \rightarrow Poisson \rightarrow Poisson

Poisson:

Bayesian technique \rightarrow fit. 7. 90%. 信賴区由 $\pm 3\%$ (誤差範圍)

calibration:

Gr, H $\pm 10\%$ ~~strain amplitude error~~ \rightarrow mass estimation error.

Hz 14%, 6-8% VL

15% uncertainty amplitude + distance by factor 1.28 @ 90% C.L.

V. Search weight.

(13)

Table VI: 各候補のノイズレーベルを示す
最も信頼度の高いイベントは FARC false
Alarm rate & 短い timing window の大きさ

false Alarm probability を示す。

FAR: background study による significant な event の確率

$$H1/H2(L1V1) \approx 1.7 \times 10^{-6} \text{ Hz}^{-1/2}, FAP = 0.17$$

$$P = 1 - \exp(-RT_{\text{on}})$$

time slided background の候補 candidate event の

確率を示す。短い window の大きさの候補 event の

確率を示す。 H1H2L1 V1 case
with 32m background の候補

CWB X-Pipeline の候補 event の確率

Detection efficiency vs distance を示す。

約300 kpc の X-Pipeline の検出確率。

Fig. 4.5 CWB X-PIPELINE で最も信頼度の高い significant event の検出確率。
2007 年の検索結果。

~110kpc の multidimensional simulation

~100kpc の Mpc fragmentation var.

SNR 20 の detection factor は 3~10 倍である。

G12 VI の polarization に対する background

rejection ratio は

CCSNE 45° rotate \Rightarrow orthogonal G12 polarization
 \rightarrow CCSNE simulation は linear polarized polarization
 \rightarrow G12 polarization
 $(\pm 36^\circ - 72^\circ)$ 10Mpc の sensitivity である。

VI. G12 の consistency
 チャンネル

constraints on Energy Emission

(k)

Sine gauss study

measure the efficiency as a function of hrs

237 Hz and 1304 Hz

table 6

efficiency for γ on SG, detectors to $\pm \frac{1}{2}$

max efficiency $\approx 75\%$ efficiency $\approx 37\% \text{ hrs}$

50% γ vs $c = \pm 12, 1.12$.

coincident data \approx coincident on source or window
 \approx limit $\pm 12, 1.12$.

measure of the distance reached by the instruments independent of their duty cycle

a. ~~maximum~~ $\approx 75\%$

hrs \rightarrow EW

$$E_{GW} = \frac{\pi^2 c^2}{G} D^2 f_0^2 h_{rs}^2$$

duty factor $\approx 75\%$
detection efficiency $\approx 100\%, 7.18\%, T_i \rightarrow$
maximum $\approx 75\% \text{ hrs}$

$D = 10, 55 \text{ Mpc}$ 2007 9/2

8.40 " 2010h

Model Exclusion confidence

Fig 4 & 5 present constraint $\approx 7.3\%$

Fig 6: detector noise to factor of $A_d \pm L^2, T$
 \approx exclusion probability

(15)

$$275 \text{ Hz} \quad 6.7 \times 10^{50} \sim 1.0 \times 10^{53}$$

constraint 275 Hz at 1854 & 2116 - 1180 & 11 Emiss
noise floor level 1.4 × 10^-3

kHz frequency H extra-Galactic radio flux

$O(10) \text{ Mc}^2$ 以上 の 電力波動子

1.4-1.4 Neutron Star 10^37 $\sim 0.15 \text{ Mo}$

~~SN~~ 1987A \oplus kinetic energy $O(10^4)$
explosion

On time coverage

SN 2011dh 7-317%

今後何個(SN) Super nova が発見される
1.7. 何%の detection efficiency が得られる
SN 11.7-3 が発見されると排除する

$$\text{Percent} = 1 - \prod_{i=1}^n (1 - \epsilon_i(d\bar{x}))$$

$\epsilon_i(d\bar{x})$ は、 $d\bar{x}$ の下で i の確率

$$\epsilon_i(d\bar{x}) \rightarrow \epsilon_i = \frac{\int_0^\infty d\bar{x} \pi_i(d\bar{x}) \epsilon_i(\bar{x})}{\text{distance prior}}$$

Advance detector: \Rightarrow SN が遅く現れる

$\approx 0.17 \pm 0.18$ と予測される。

(16)

Fig 6 Exclusion confidence

detector noise level by factor of A 14C3,7.

$A = 10^{10}$ 10¹⁰ 成長 33

$p = 2$ は 2007 gr と 2009 ~~2011~~ ²⁰¹¹ dn
 a super nova detection in the 115=10
 situation w/o

つまり 400 Super nova

~~target~~

またこれは キャリブレーション 全て同じ 10⁴-27-
 水素球 3320 PE 33% L ~~extra~~

phenomenological waveform of $\phi(t)$
 例. $\phi(t) \propto t^{\alpha} \sin(\omega t + \phi_0)$ とおぼえ
 signs が元の何かと何の関係か?

▷ All sky all time search limit
 target search is $\chi^2 < 31$ $\delta = 7.0\%$?

(17)

~~2020~~

SN2009gr SG wave form plus hrss & the detection
 FAR threshold & fix($\tau_{\text{hrss}} = 13.4 \pm 2.3 \text{ hrss} \approx 5 \text{ ft}$)
 50% efficiency or vice versa -?.

50% search $\tau_{\text{hrss}} \approx 7-10$

$$23.5 \text{ Hz} \quad 3.0 \times 10^{-22} / \text{rHz}$$

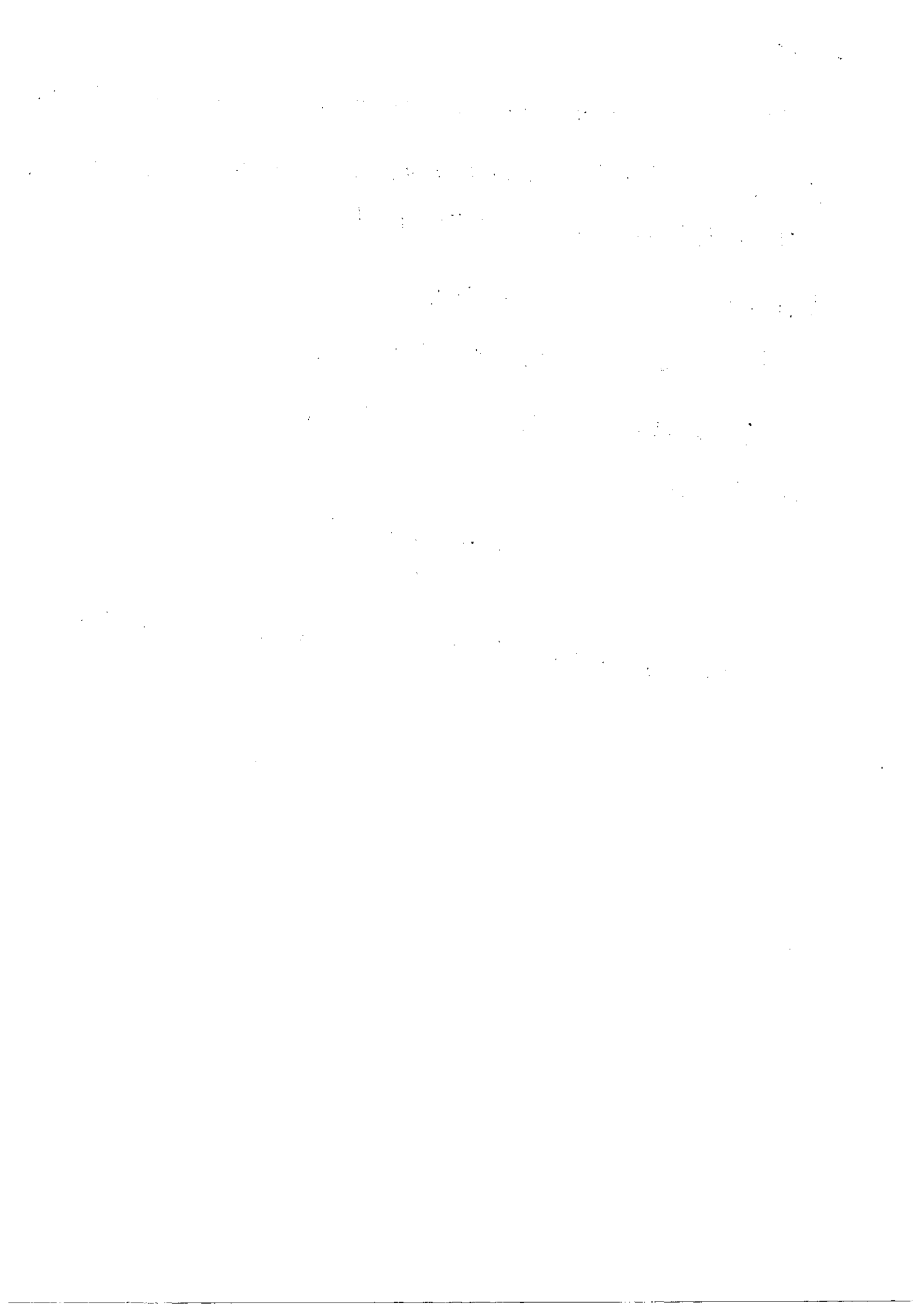
$$13.64 \text{ Hz} \quad 2.2 \times 10^{-21} / \text{rHz}$$

all sky search τ_{hrss} .

$$17.6 \times 10^{-22}$$

$$2.9 \times 10^{-21}$$

30% ~ 40% higher. Due to time window..



大質量超新星の親星の種類と進化

①

超新星の分類：主に最大光度時のスペクトルによる。

Ia Si強 II H強 Ib He

Ic no H, He, Si

light curve

終半ばNiで光る了

前半($\sim 100\text{ day}$)は光度一定のところをもがく

II型 SNe Plateau

これは、厚い水素層を持った赤色超巨星

あまり mass loss していない single $11 \sim 18 M_{\odot}$

止める

shock wave 通過 \rightarrow 水素電離 \rightarrow 光の opacity ~~がく~~ がく

\rightarrow photo sphere の温度はほぼ一定である。

長い時間にわたって $L \sim 4\pi R^2 \sigma T_{ph}^4 \sim$ 一定 である

\rightarrow 徐々に冷え 水素再結合 \rightarrow opacity がくがく

\rightarrow 光度が落ちる

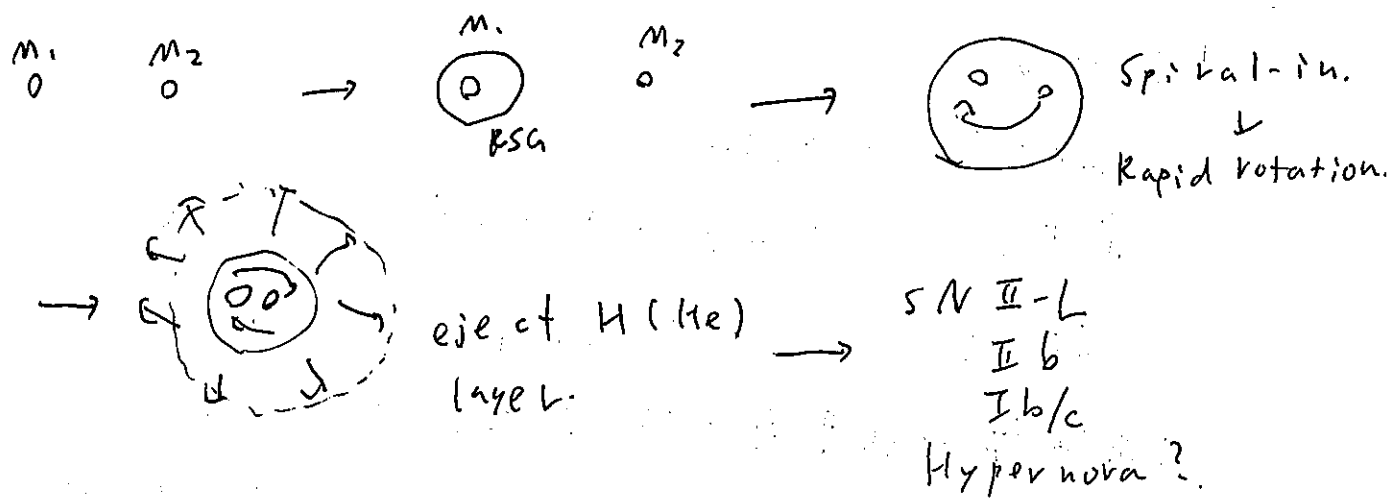
II-L型 SNe は、水素層が厚くないので、この plateau が(あまり)無い。ここで水素層の厚さが大きくなる。

②

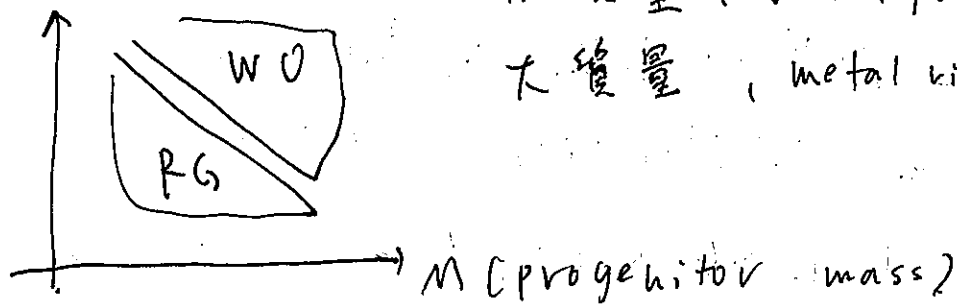
重く金属の少ない星は \odot . Mass Loss & 1.94%

mass loss rate の不定性により H 層を single star 無くす質量はいかでいい。
single or binary?

$M_1 > M_2$ の伴星がある. $T = 3$



Z (metallicity)



小質量、metal poor Red giant.

大質量、metal rich Wolf-Rayet

Asiago SN Catalogue ~ 2015

Ia	II	IIp	Ic	In	Ia	Ib	IIb
58%	17%	7%	4%	4%	pec	2%	2%

II±. H 線が見えない Sub class が 33% も。

Ib/c Ipec IIL
1% 0.5% 0.4%

(3)

SN 1987A の 親星の謎

もしも有明な爆発なのだが、実は謎を多く持つ。

- 爆発前は青かっ

- (何で青く見せつけたか) 3つのリンクが見えず

- Ejecta が非対称

- 組成が少し変 (He が7%) 等々

- 3-4 h 前 (explosion の) neutrino 発見測定

表面が赤 → 表面温度が低 → 質量7-11M_⊙
 → Red ~~giant~~ supergiant star. (赤色超巨星)

→ 大きな青か、T = 3-4 h 前は neutrino

(PSG が 1-2d かかると見えます)

He線が見えず IP型 light curve では?

現在までのところ一番成功したモデルは、

Polsi adiabatic とした連星合体モデル。

15M_⊙ × 5M_⊙ の 周期10年程度の連星

15M_⊙の方が赤色巨星化 → 合体

合体時に1:7の状態で質量を放出、角運動量を放出、質量除算。

外層が薄くなり、半径収縮、赤字から青色へ。
 その後爆発

1:7 形成 ニュートンも行なった。

Faint SN

暗い超新星

(4)

1. SN 1997D-type (II型, massive, $M_{\odot} 20 \sim 40 M_{\odot}$)
2. Ultra stripped Ne Ic (SN 2005ek like)
3. electron capture SN (NeMg SN etc)
叫ばれ子・蟹型脈冲星のSN前兆?

HN 1=手のひら失敗した Failed SN シルエットは BH or magnetar

II_n型

H線外非常によく narrow

星間物質と超新星物質との相互作用を示唆

非常に高い星の間に水素か水素よりもかかって

進化末期の mass loss rate が非常に大きい

Super luminous SNe

定義: 級別等級 -21等以上明るい

SLSN-I 水素あり SLSN-I 水素無し

SLSN-R (radio active decay)

ズームルホーリングの12(II_n型)